

Bottleneck のある 1 次元道路における Delayed start 効果

II. 高速の場合

石橋善弘¹, 福井稔²

¹名古屋大学 ²中日本自動車短期大学

概要

1次元交通流に及ぼす delayed start 効果と bottleneck 効果はこれまでは別々に研究されて来たが、ここでは、福井・石橋モデルを使って、bottleneck のある系において delayed start のおよぼす効果を考察した。Bottleneck の上流に形成される渋滞領域での車密度を、delayed start の確率 f と gate (bottleneck) が開く確率 r の関数として求め、それを使って流量を求めた。得られた流量はシミュレーション結果とよく一致した。

The Effect of the Probabilistic Delayed Start on the Traffic Flow on the One-dimensional Road with a Bottleneck

II. High Speed Cases

Yoshihiro Ishibashi¹, Minoru Fukui²

¹Department of Applied Physics, Nagoya University

²Nakanihon Automotive College

Abstract

The effects on the flow of the delayed start in the one-dimensional traffic system and that of a bottleneck were so far investigated separately. Based upon the Fukui-Ishibashi model, we investigated the effect of the probabilistic delayed start on the flow on the road with a bottleneck. We could find a mathematical formula for the car density in the jam region formed before the gate as a function of the probability, f , of the delayed start and that of opening gate, r . The obtained formula gives the flow, which is found in fair agreement with cell automaton simulation results.

1. はじめに

1次元交通流^{1,2)}における bottleneck (1次元道路上に gate があり、確率 r で開かれる) 効果³⁾と delayed start (通常は M サイト進める車が、確率 f でスタートがおくれ、そのために $M-1$ サイトしか進めない) 効果^{4,5)}は別々に研究されてきた。最高速度を M とする福井・石橋モデル²⁾における bottleneck 効果については、gate の手前に形成される渋滞領域における車の密度 p_j は

$$p_j = \frac{1}{1+r+\dots+r^M}, \quad (1)$$

その流量 F_c は

$$F_c = 1 - \frac{1}{1+r+\dots+r^M} \quad (2)$$

で表されることがわかっている⁶⁾。 $M=2$ の場合の基本図 (Flow F 対密度 p の関係を示した図) を Fig. 1(a) に示すが、中間密度領域に密度に依らない流量一定の相が出現する事が

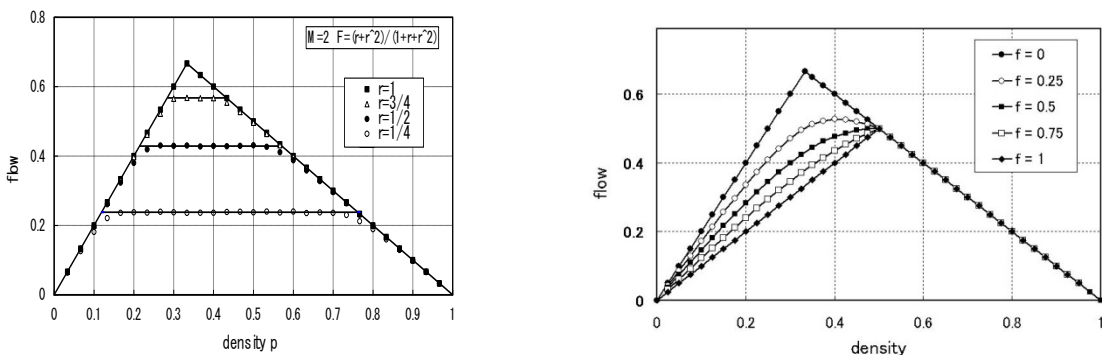
みてとれるであろう。また、bottleneckがない場合の delayed start 効果については、各車の delayed start の確率を f とすると、流量は

$$F(p) = \frac{1}{2} \left\{ (M-1)p + 1 - \sqrt{[(M+1)p-1]^2 + 4fp(1-Mp)} \right\} \quad \text{for } 0 \leq p \leq 1/(M+1)$$

$$F(p) = 1 - p \quad \text{for } 1/(M+1) \leq p \leq 1 \quad (3)$$

となることが知られている (Fig.1(b), $M=2$)。^{4,5)} $M=1, 2, 3$ の場合の flow F を f の関数として Fig.2 にまとめて示す。

本研究では、福井・石橋モデルにより bottleneck 効果と delayed start 効果が共存する場合、すなわち bottleneck のある道路での delayed start が流量におよぼす効果を調べた。本研究の最終目的は Fig.2 の完成である。



(a) Bottleneck 効果 ($f=0$)

縦軸: Flow F , 横軸: 密度 p

パラメーター: $r=1, 3/4, 1/2, 1/4$.

(b) Delayed start 効果 ($r=1$)

縦軸: Flow F , 横軸: 密度 p

パラメーター: $f=0, 1/4, 1/2, 3/4, 1$.

Fig.1. 福井・石橋モデル ($M=2$)

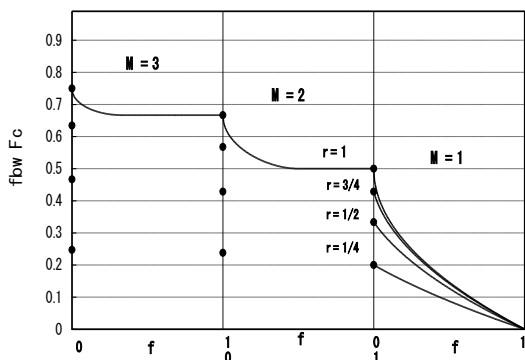


Fig.2 中間濃度領域での一定流量 F_c

①点、線は(2), (3)式から知られている F_c を示す。

②各 M について f は 0 から 1 まで変化する。

2. Bottleneck 効果と delayed start 効果の相互作用

Bottleneck がない場合、 f が与えられた時、 $0 \leq f \leq 1/M$ ならば、最大流量 F_m

$$F_m = \frac{(\sqrt{M} - \sqrt{f})^2}{M + 1 - 2\sqrt{Mf}}, \quad (4)$$

を与える濃度 p_m は

$$p_m = \frac{M - \sqrt{Mf}}{M(M + 1 - 2\sqrt{Mf})} = \frac{1 - \sqrt{f/M}}{M + 1 - 2\sqrt{Mf}}, \quad (5)$$

と与えられる。また、 $1/M \leq f \leq 1$ なら、

$$F_m = (M - 1)/M, \quad p_m = 1/M \quad (6)$$

である。

一方、bottleneck 効果では gate の手前に渋滞領域が形成されるが、そこでの車密度を p_j とすると、 $r=1$ のときは $p_j = p_m$ であり、また $r=0$ のときは $p_j = 1$ となるはずである。そのような条件を満たすように (5)、(6) 式に r 依存性を取り込みたい。

以下では $M=2$ の場合について検討する。まず、 $0 \leq Mf \leq 1$ ならば、 $f=0$ 、 $r=1$ のとき (5) 式は (1) 式と一致する筈だから

$$p_j = \frac{1 - r^n \sqrt{f/M}}{1 + r + r^2 - (r^2 + r^m) \sqrt{Mf}} \quad (M=2) \quad (7)$$

と仮定してよさそうである。(7) 式は、 $r=0$ のとき、 $p_j=1$ となり (1) 式との矛盾はない。冪指数 m 、 n はシミュレーションにより決めなければならない。そのため、(7) 式で表される密度を (2) 式に代入して流量を求め、シミュレーション結果と比較した結果、 $m=2$ または 3、 $n=2$ または 3 の組み合わせの中では $m=3$ 、 $n=2$ が最善の組み合わせである事がわかった (Fig.3 参照のこと)。

次に、 $1/M \leq f \leq 1$ の範囲で p_j を求めよう。その場合、 p_j が満たすべき条件は $Mf=1$ において (5) 式と連続であること、 $f=1$ のとき $p_j=1/(1+r)$ となることである。この条件を満たす簡単な式として

$$p_j(f, r) = \frac{1 - \frac{a}{M} r^2}{1 + r - ar^3} \quad (8)$$

が得られる。ただし、

$$a = \frac{\sqrt{Mf} - \sqrt{M}}{1 - \sqrt{M}}. \quad (9)$$

こうして得られた流量を Fig. 3 に示す。Flow F についてシミュレーション結果と比較して最大 5%程度の誤差があるが、(7), (8)式は経験式または実験式として受け入れてよからう。また、(7), (8)式を使って得られた flow F を Fig. 2 に描き込んだものを Fig. 4 に示す。

3. 結語

本研究では、福井・石橋モデルを使って bottleneck 効果と delayed start 効果が共存する場合の流量を解析した。そのためには gate の手前に形成される渋滞領域での車密度 p_j が重要な役割をはたすので、それを gate が開く確率 r と delayed start の確率 f の関数として求め、それを用いて流量を求めた。シミュレーション結果と比較して、満足できる結果を得た。

なお、我々は以前 Go-notGo モデル(各車は通常は M サイト進めるが、全く動かない確率が f)により同様の研究を行ったが⁷⁾、今回は基本図(車密度-流量関係図, Fig. 1(b))に特異点 ($p=1/2, F=1/2$) (Fig.1(b)参照のこと)が存在するため、格段に難しい課題となった。

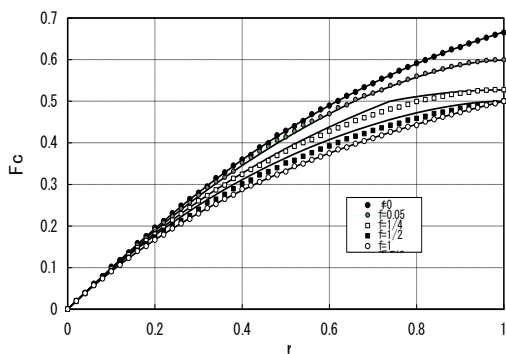


Fig.3. Flow F の r 依存性 (パラメーター f)
各種の点はシミュレーション結果、
線は(7), (8)式を(3)式に代入して得られた
Flow F を示す。

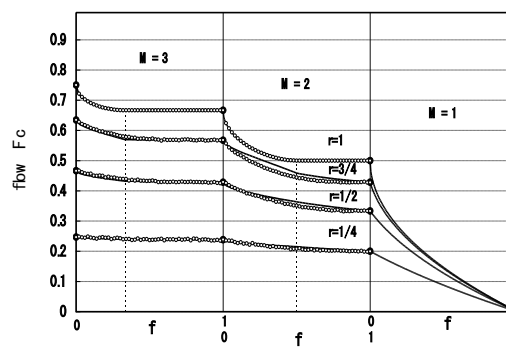


Fig.4. M, r, f の関数としての流量
点はシミュレーション結果、線は
(7), (8)式を(3)式に代入して
得られた Flow F を示す。

参考文献

- [1] S. Wolfram, *Theory and Application of Cellular Automata* (World Scientific, Singapore, 1986).
- [2] M. Fukui and Y. Ishibashi, *J. Phys. Soc. Jpn.* **65**, 1868 (1996).
- [3] S. Yukawa, M. Kikuchi, and S. Tadaki, *J. Phys. Soc. Jpn.* **63**, 3609 (1994).
- [4] B. -H. Wang, L. Wang, P. H. Hui, and B. Hu, *Phys. Rev. E* **58**, 2876 (1998).
- [5] Y. Ishibashi and M. Fukui, *J. Phys. Soc. Jpn.* **87**, 114801 (2018).
- [6] Y. Ishibashi and M. Fukui, *J. Phys. Soc. Jpn.* **70**, 1237 (2001).
- [7] Y. Ishibashi and M. Fukui, *J. Phys. Soc. Jpn.* **88**, 054802 (2019).